

## 討6 連続铸造鉄片の品質に及ぼす二・三の要因

新日鐵・八幡技研 森 久

## 1. 緒 言

連續铸造法は鋼塊法に比べてつぎのような特徴があるため、定性的には下表の如く連鉄材の品質に影響すると考えられる。

連鉄法の特徴	品質に対する影響
a. 鋳込時間が長い(とくに大型転炉と結ぶとき)	スラグや耐火物との接触時間が長いため、溶鋼組成の経時変化が大きくなりやすい。
b. タンディッシュを溶鋼が経由する。	溶鋼の空気酸化、N、Hの吸収(オープン注入のとき)。 タンディッシュ耐火物による汚染。 タンディッシュ内における介在物の浮上分離促進。
c. オープンノズルの場合、鋳型への注入流が細い。	注入流の空気酸化などがより大きい。
c' 浸漬ノズル・パウダーキャスティング	注入流と鋳型内溶鋼表面の空気酸化などの防止。
d. 鋳型内面と凝固殻との摩擦に逆らって連続的に引抜くために潤滑剤が必要。	オイルキャスティングで鉄片に気泡が発生し易い。 パウダーキャスティングで鉄肌が改善される。浸漬ノズルの形状が不適当であると、パウダーをまきこむ。
e. 未凝固の鉄片が、ロールなどにより保持もしくは変形される。	局所的に保持されるので、鉄片の変形・ふくれ・割れなどが発生しやすい。
f. 未凝固鉄片が水スプレーなどにより強制的に、また鉄片長さ方向には局所的に急冷される。	凝固・冷却に伴う熱応力が大きいため、鉄片の割れや変形がおこりやすい。
g. 鉄片断面が小さい—凝固時間が短い。	介在物が生長しにくい。 凝固組織として、チル晶や柱状晶の占める割合が高い。
h. 溶融帯が細く深い。しかも連続的に引抜かれる。	介在物が浮上しにくい。 V偏析が発生しやすい。
i. 連続的に注入・凝固する。	鋼塊にみられるような高さ方向の偏析がない。
j. 成品までの圧延比が小さい。	铸造組織や層状組織が成品に残留しやすい。 介在物が伸びにくく。

このように、CC法は鋼塊法に比べて品質に影響する要因が多く、しかも要因の影響が敏感であるために、CC法における品質と生産性を両立させるためには、冶金的・熱的・機械的諸要因を総合的かつ厳密に管理しなければならない。

本報では、品質におよぼす二・三の要因の影響について、八幡製鉄所で得られた結果を紹介する。

2. 繰目無钢管の内面疵<sup>1)</sup>

一般配管用炭素钢管用として、0.15%C, 0.25%Si, 0.4~0.6%Mn, ~0.005%sol Al程度の鋼種をえらび、下表に示すような3種類の管材を製造もしくは入手した。管材はマンネスマップラグミルで製管し、外径34mm, 肉厚3.4mm程度にHot Reducerで絞って、管体検査を行なった。

管材の種類	溶製炉→CC機	鉄片	管材
丸鉄片	八幡第三製鋼工場 70t LD →同 №2 CC機	115~120mm丸	110~115mm丸 160mm角と扁平大断面
鉄片をブレークダウン		160mm角と扁平大断面	

巨大介在物は、既報のごとく八幡製の鉄片では、鋼の Mn/Si が高いほど、鉄片サイズが小さいほど、巨大介在物が増加する傾向がみられた。

写真1は丸鉄片のセンターポロシティであるが、160mm角以上の鉄片を115mm丸にブーケダウンすると、センターポロシティは肉眼的には完全に圧着している。

丸鉄片から製造した钢管の内面には、写真2に示すようなふくれ疵およびささくれ疵が多くみられた。これらの疵の断面をみると、いずれも Silicate系の巨大介在物が起点になっており、穿孔時にビレット中心に働く引張り応力によって巨大介在物を起点としてふくれ疵が発生し、これが破れたものがささくれ疵であると推定される。

そこで、鉄片の巨大介在物個数(ヒート平均)と製管後の内面疵発生率との関係をしらべてみると、図1に示すように、直径0.2mm以上の巨大介在物が多いほど内面疵発生が増加する傾向が認められる。横軸に直径0.05mm以上もしくは0.5mm以上の巨大介在物個数をとると、相関性が低下する。なお、丸鉄片の1次材は、その他に比べてよりゆるい検査基準を採用した。

図1によると、丸鉄片2次材の一部とブーケダウン材とは巨大介在物個数にほとんど差異がないにもかかわらず、ブーケダウン材のほうが内面疵発生率が著しく低いことが注目される。

これらのことから、内面疵の起因となる介在物は、ある限界サイズ以上のものであること、ブーケダウンによるセンターポロシティの圧着ないしは巨大介在物の変形が内面疵発生を抑制することが推測される。

### 3. 丸鉄片の表面縦割れ<sup>1)</sup>

上述した継目無钢管用の丸鉄片において、写真3に示すような不規則な形状の表面縦割れがみられた。この割れは鉄片の凹部—すなわち、ピーリング後の黒皮残留部—に発生している。鉄込中に鉄型から引抜かれてくる赤熱状態のビレット表面を観察したところ、鉄型直下で縦割れは既に発生しており、割れが発生する位置はより白熱した部分—すなわち、凝固がおくれた部分—であった。

そこで、表面縦割れ長さを鉄型番号別に整理した結果を図2に示す。ここで各鉄型はキャスト毎に異なるストランドに入れ換えた場合が多いことに留意されたい。図2から、#1および#2鉄型を使用した鉄片には割れがほとんどみられないのに対して、#3および#4鉄型では割れが多発しており、鉄型の良否が表面縦割れを左右する要因の一つであることがわかる。

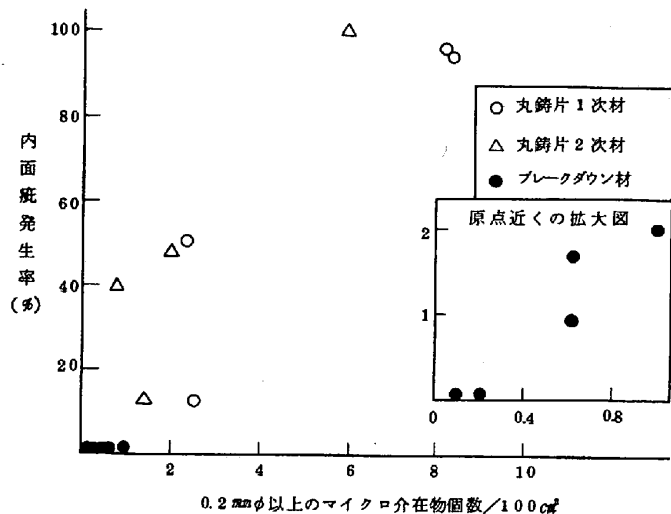


図1 直径0.2mm以上の巨大介在物個数と内面疵発生率との関係

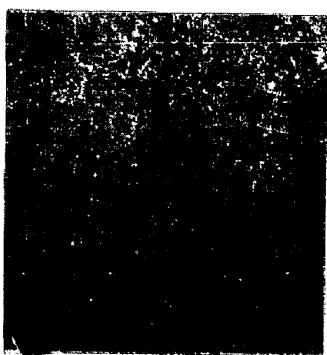


写真1 丸鉄片のセンター  
ポロシティ (×2)

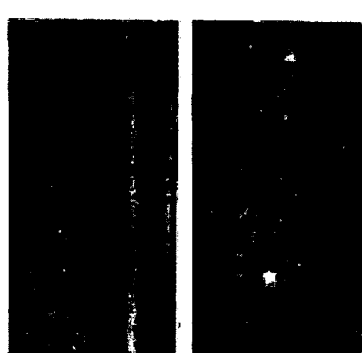


写真2 ふくれ疵 (×1) ささくれ疵 (×1)



写真3 丸鉄片の表面縦割れ (×2)

また、キャストル間で表面縦割れ長さにかなりの差異が認められたので、鋳込過熱温度と割れ長さとの関係をしらべたところ、図3に示すように、鋳込温度が高いほど表面縦割れ長さが増加する傾向がみられ、これまでの常識と一致した。

#### 4. 角鉄片の表面割れ<sup>1)</sup>

八幡第三製鋼工場のCC機では、113mm以下の鉄片にはチューブラーモールドを使用している。鋳型の使用回数が増すにつれて鋳型の変形が著しくなる。1例を図4に示すように、鋳型内湯面レベル近くでは内側にせり出し、下端近くは摩耗して外側にひろがる場合が多い。

鉄片には鈍角コーナー側に発生しやすい面縦割れとコーナー縦割れ、鋭角コーナー側に発生しやすい面横割れがみられることがある。

鋳型内面の変形度の特性値として、 $\Sigma |D_{ij} - D_{i+1,j}|$ なる値をとると、この値が増加するにつれて、図5に示すように、ビレットの表面割れ総長が増加する。ここでDは鋳型の内面寸法を表わし、サフィックスiは6箇所の内面寸法測定方向（南北面間の西側、中央、東側および東西面間の南側、中央、北側）を表わし、サフィックスjは鋳型上端からの距離9レベルを表わす。したがって、表面割れを防止するためには、鋳型の変形の定期的な矯正が必要である。

#### 5. 角鉄片の菱形変形<sup>2)</sup>

小断面のCCにおいて正方形断面の鋳型を使用するにもかかわらず、鉄片の断面は多少なりとも菱形に変形している。著しく菱形に変形した鉄片は、圧延工程でのトラブルの原因になる。

菱形変形の程度は、鋳型の使用回数が増すにつれて著しくなる。ブレークアウトした鉄片をみると、鋭角側コーナーの凝固殻厚さは、鈍角側に比べて厚い。また鋳込中に変形方向が逆転する現象も稀にみられる。鋳型内凝固のごく初期にわずかの不均一冷却をうけると、冷却が充分なコーナーは表面圧縮、内部は引張りの熱応力のために鋭角に変形して、鋳型との接触も益々よくなるために凝固厚さが厚くなる。一方、

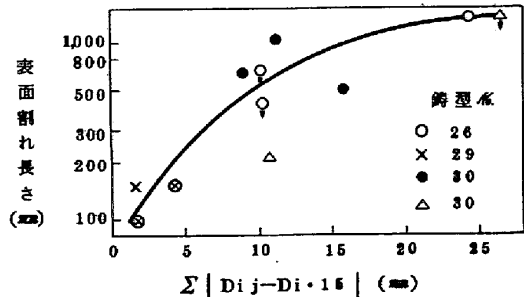


図5 鋳型の変形度と表面割れとの関係

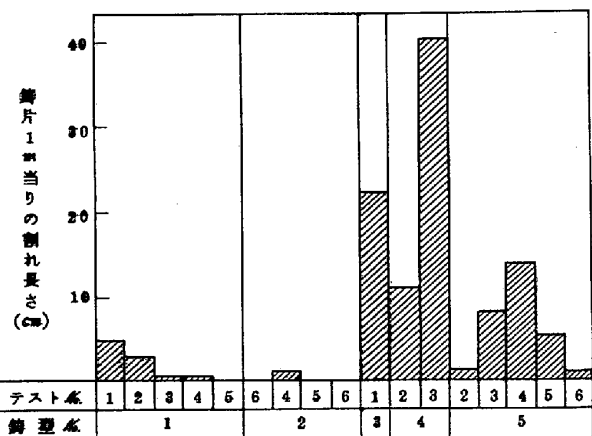


図2 鋳型別の鉄片表面縦割れ発生状況

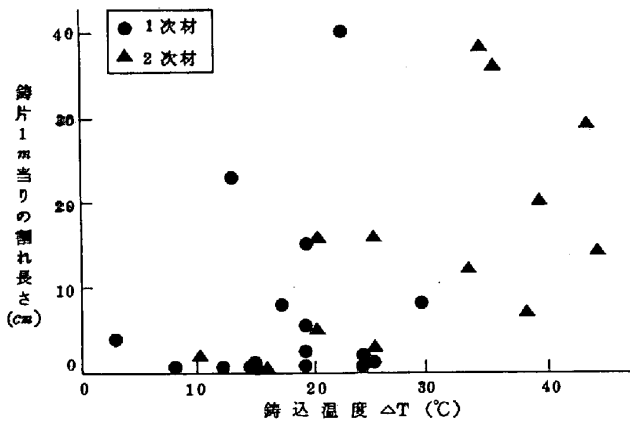


図3 鋳込温度と表面縦割れ長さとの関係

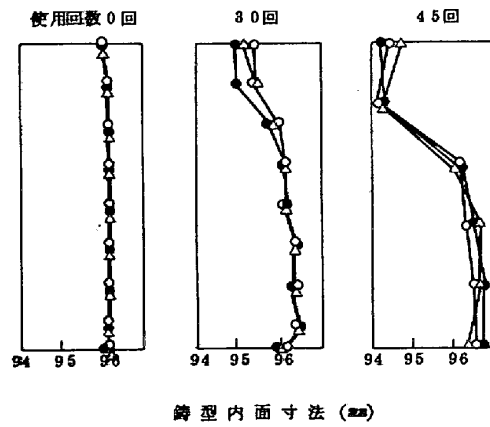


図4 鋳型使用回数と変形との関係

冷却不足コーナーは、冷却充分なコーナーの鋭角への変形力によって鋳型から早く離れるために凝固の進行がおそくなり、鈍角に変形させられる。このように、最初のごくわずかの冷却不均一が菱形変形の原因と推測される。

鋳型内で生じた菱形変形を機械的に矯正する方法として、コーナーロール(図6)を上部ローラーエプロンの最上段に取付けると、菱形変形は図7に示すように減少し、また上部ローラーエプロンのロール間隔をせばめてビレットをしめつけることにより、図8に示すように菱形変形が減少する。さらに、2次冷却帯のスプレー角度を小さくして、コーナーに水がかからないようにすると、図9に示すように、2次冷却帯における変形が助長されにくくなり、しかもコーナーが軟かくなり矯正されやすくなつて、菱形変形が減少する。クラウン付モールドを使用すると、凝固初期の薄いシェルが溶鋼の静圧によって鋳型とより均一に接触しやすくなるためか、変形が減少する。

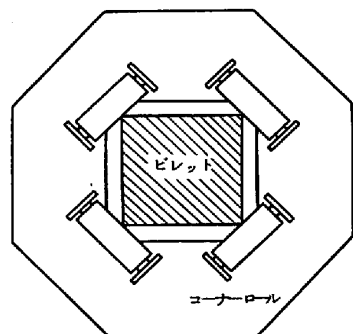


図6 コーナーロール

- 1) 森、平居、田中、金丸、佐藤：未発表
- 2) 徳山、鈴木：鉄鋼協会・金属学会九州支部第24回合同学術講演会  
(昭和45年7月)

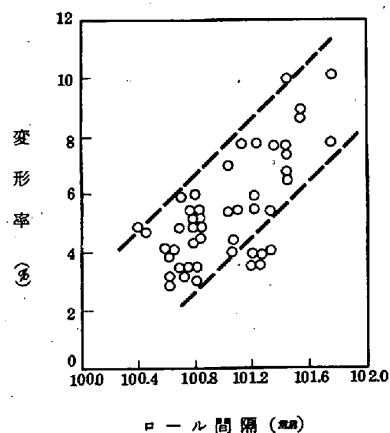


図8 ローラーエプロンロール間隔と変形の関係

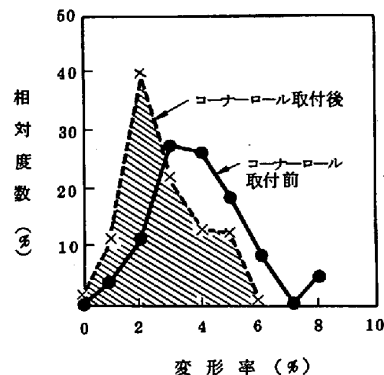


図7 コーナーロールの効果

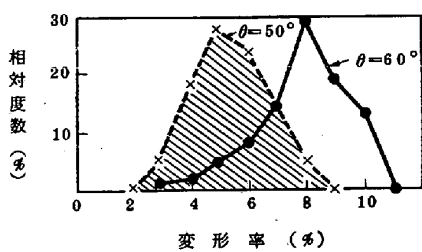


図9 スプレー広がり角度と変形の関係(100φ)

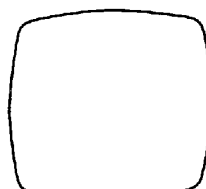
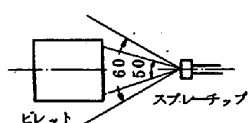


図10 クラウンモールド

鋼種	変形率 (%)	
	クラウンモールド	普通モールド
0.30%[C]	4.3	5.4
0.60%[C]	2.4	3.5

クラウンモールドの効果